

УДК 539.12.164

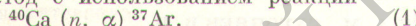
Измерение плотности потока быстрых нейтронов от горных пород

БАРАБАНОВ И. Р., ГАВРИН В. Н., ЗАЦЕПИН Г. Т., ОРЕХОВ И. В., ПРОКОПЬЕВА Л. П.

В последнее десятилетие в связи с уже осуществленными [1] и планируемыми [2] экспериментами по детектированию солнечных нейтронов возросла актуальность задачи измерения плотности потока быстрых нейтронов в горных породах. Это связано с тем, что в нейтронных экспериментах быстрые нейтроны являются источником фона [3]. В настоящее время нет прямых сведений о плотности потока быстрых нейтронов в горных породах и имеется только расчетная оценка [4], согласно которой эта плотность потока составляет $N (E_n \geq 1 \text{ МэВ}) \approx \approx 1,5 \text{ нейтр.} \cdot \text{сут}^{-1} \cdot \text{см}^{-2}$. Согласно работе [5], основной источник быстрых нейтронов — (α, n)-реакции, протекающие под действием α -частиц радионуклидов рядов урана и тория на легких элементах (Al, Si, O). Примерно 15%-ный вклад вносит спонтанное деление ^{238}U . Форма спектра нейтронов в горных породах точно не известна. В публикации [6] оценен спектр нейтронов для двух предельных случаев, когда вылетающий из составного ядра нейtron имеет в ЦМ-системе энергию, равную энергии выходного канала реакции, и когда вылетающие нейтроны в ЦМ-системе имеют максвелловское распределение по энергии.

Эти два случая соответствуют предельным жесткому и мягкому спектрам нейтронов, средняя энергия которых соответственно равна 4 и 2 МэВ.

Измерение столь малой плотности потока быстрых нейтронов как $1,5 \text{ нейтр.} \cdot \text{сут}^{-1} \cdot \text{см}^{-2}$ с помощью обычных детекторов нейтронов (сцинтилляторов, газоразрядных счетчиков и др.) при фоне γ -излучения в 10^6 раз большим едва ли возможно. В связи с этим для измерения плотности потока быстрых нейтронов от горных пород выбран радиохимический метод с использованием реакции



Эта реакция удобна тем, что ее сечение [7] (рис. 1) сильно уменьшается при $E < 2 \text{ МэВ}$ и фактически носит пороговый характер. Техника извлечений образующегося в малом количестве ^{37}Ar (вплоть до десятков атомов) и измерения его активности хорошо разработана [1, 8].

Сложность эксперимента заключается в том, что даже при использовании 100 кг кальция скорость счета от образовавшегося ^{37}Ar будет составлять только $\sim 1 \text{ ч}^{-1}$. Наиболее хорошо разработанная методика извлечения ^{37}Ar из жидкостей дает возможность создания детектора на основе водных растворов солей кальция [9]. Однако соли кальция плохо растворимы в воде и, кроме того, вода, являясь хорошим замедлителем быстрых нейтронов, существенно уменьшает эффективность реакции (1). Поэтому для создания детектора выбрали другой путь.

В работе [10] показано, что ^{37}Ar можно извлечь со 100%-ной эффективностью из некоторых твердых соединений калия. В связи с этим предприняли поиск таких твердых соединений кальция, из которых ^{37}Ar можно получить с высокой эффективностью. Метод исследования, более подробно описанный в работе [11], состоял в следующем.

Исследуемое вещество в виде порошка помещали в колбу, которую откачивали до вакуума $\sim 0,01 \text{ Па}$ и облучали нейронами Ru — Ве-источника. После облучения колбу соединяли с ловушкой, содержащей активированный уголь при -196°C , в которой ^{37}Ar сорбировалось по реакции (1). Очистка извлеченного аргона и измерение его активности с помощью пропорционального счетчика описаны в публикации [8]. Для контроля эффективности извлечения ^{37}Ar из порошкообразного вещества в аналогичных условиях облучали колбу малого размера с водным раствором $\text{Ca}(\text{NO}_3)_2$, из которого ^{37}Ar извлекали

продувкой гелием и принимали за 100%. В результате было найдено, что выход ^{37}Ar из обезвоженного щавелево-кислого кальция (CaC_2O_4) достигает 100%. Это вещество обладает высоким содержанием кальция (31%) и не содержит водорода — хорошего замедлителя быстрых нейтронов.

На основе полученных результатов был создан детектор нейтронов [12], представляющий собой цилиндрический бак диаметром 60 и длиной 120 см, содержащий 187 кг обезвоженного порошкообразного CaC_2O_4 . На верхнем торце установлен вентиль для откачки бака и извлечения ^{37}Ar , на нижнем торце — манометрическая лампа ЛТ-4М для контроля за этими процессами.

После экспозиции детектора в измеряемом потоке нейтронов к верхнему вентилю присоединяли ловушку с активированным углем ($\sim 1 \text{ г}$) при -196°C , на котором сорбировали образовавшийся по реакции (1) ^{37}Ar . Последующие очистка извлеченного ^{37}Ar , перекачка в пропорциональный счетчик и измерение его активности описаны в работе [8].

Калибровочное измерение с нейтронным Ru — Ве-источником показало:

1) процесс извлечения ^{37}Ar из детектора подчиняется закону:

$$Q = Q_0 [1 - \exp - (t/t_0)],$$

где t — время извлечения, $t_0 = 1,4 \text{ ч}$; Q — количество извлеченного ^{37}Ar ; Q_0 — количество ^{37}Ar в детекторе в момент времени $t = 0$.

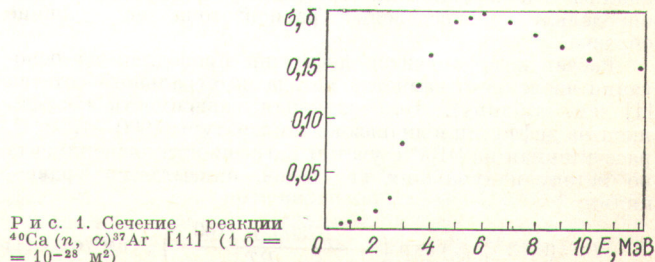
Таким образом, за время $t = 4 \text{ ч}$ извлекается 95% ^{37}Ar . Необходимо подчеркнуть, что этому закону подчиняется только процесс извлечения ^{37}Ar из обезвоженного CaC_2O_4 ;

2) эффективность детектора к нейтронам Ru — Ве-источника составляет 1%. Учитывая, что современная низкоФоновая техника позволяет измерять столь малую активность ^{37}Ar , как 1 расп. $\cdot \text{сут}^{-1}$, чувствительность детектора к глобальной плотности потока нейтронов составляет $\sim 10^{-2} \text{ нейтр.} \cdot \text{сут}^{-1} \cdot \text{см}^{-2}$.

Зависимость эффективности детектора от энергии нейтронов рассчитана методом Монте-Карло. При расчете принимали во внимание упругое и неупругое рассеяние нейтронов, а также ядерные реакции на всех ядрах, входящих в состав детектора. Сечение реакции $^{40}\text{Ca} (n, \alpha) ^{37}\text{Ar}$ взято из библиотеки оцененных ядерных данных ENDL-2 [7]. Результаты расчета представлены на рис. 2.

Описанным детектором выполнены измерения в подземных помещениях Баксанской нейтринной обсерватории на глубине 700 и 1200 м водного эквивалента, где поток нейтронов от горных пород заведомо превышает поток нейтронов, идущих в равновесии с мюонами [5]. Скорость образования ^{37}Ar равна $(0,90 \pm 0,09)$ и $(0,84 \pm 0,09)$ атом $^{37}\text{Ar} \cdot \text{ч}^{-1}$ соответственно, что в пределах статистической точности можно считать равными значениями.

Если аппроксимировать эффективность на рис. 2 значением 1,7% для $E_n \geq 3 \text{ МэВ}$ и 0% для $E_n < 3 \text{ МэВ}$, то для



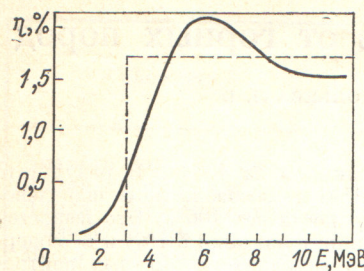


Рис. 2. Зависимость эффективности детектора от энергии нейтронов (моноэнергетический изотропный источник, распределенный равномерно по поверхности детектора)

потока нейтронов с $E_{\text{н}} \geq 3 \text{ МэВ}$ получим $N(E_{\text{н}} \geq 3 \text{ МэВ}) = 0,045 \text{ нейтр.} \cdot \text{сут}^{-1} \cdot \text{см}^{-2}$.

Так же измерена плотность потока нейтронов от горных пород за защитой толщиной 50 см из специально разработанного низкофонового бетона [4]. В этих условиях скорость образования ^{37}Ar составляет $(0,17 \pm 0,03) \text{ атом}^{37}\text{Ar} \times \text{ч}^{-1}$, что соответствует снижению плотности нейтронного потока от горных пород примерно в 5 раз.

Полученная оценка плотности потока быстрых нейтронов справедлива в том случае, если спектр при малой энергии ($E < 3 \text{ МэВ}$) возрастает медленнее, чем спадает эффективность регистрации (см. рис. 2). В противном случае это значение следует рассматривать как верхний предел.

Полученные нейтронные потоки дают возможность более точно оценить фон радиохимических детекторов солнечных нейтрино, связанных с нейtronами от горных пород.

СПИСОК ЛИТЕРАТУРЫ

- Davis R., Hammer D., Hoffman K. Phys. Rev. Lett., 1968, v. 20, p. 1205.
- Zatsepin G. e.a. In: Proc. Intern. Conf. on Neutrino Physics and Neutrino Astrophysics. Baksan Valley, 1978, v. 1, p. 20.
- Елицинский А. В. Канд. дис. М., ФИАН, 1972.
- Аршинов И. А., Глотов В. И., Зацепин Г. Т. In: Proc. Intern. Conf. on Low Radioactivity Measur. Appl. Bratislava, 1977, p. 29.
- Горшков Г. В. и др. Естественный нейтронный фон атмосферы и земной коры. М., Атомиздат, 1966.
- Глотов В. И. Краткие сообщения по физике, 1970, № 7, с. 75.
- Cullen D. e. a. The LLL Evaluated Nuclear Data Library (ENDL). UCRL-50400, 15, 1976.
- Барабанов И. Р. и др. Атомная энергия, 1974, т. 37, вып. 6, с. 503.
- Davis R. В кн.: Труды международного семинара по физике нейтрино и нейтринной астрофизике. Ч. II. М., 1968, с. 99.
- Spannagel G., Firman E. J. Geophys. Res., 1972, v. 77, p. 5351.
- Барабанов И. Р. и др. Изв. АН СССР. Сер. физ., 1976, т. 40, с. 4050.
- Барабанов И. Р. и др. Атомная энергия, 1979, т. 47, вып. 4, с. 273.

Поступило в Редакцию 07.01.80

УДК 533.15

Исследование диффузии железа в austenитных хромоникелевых сталях 0Х16Н15М3Б и 1Х18Н10Т

ПАВЛИНОВ Л. В., ГЛАДЫШЕВ А. М., СУГОНЯЕВ В. Н.

Aустенитные хромоникелевые стали широко применяются в качестве материалов натриевых контуров быстрых реакторов. Поскольку выход атомов основы и легирующих элементов из сталей в натрий в значительной мере осуществляется диффузионным путем, представляет интерес изучение их диффузии в сталях.

Диффузию железа в austenитных хромоникелевых сталях 0Х16Н15М3Б и 1Х18Н10Т при температуре 1000—1250° С определяли с использованием радиоизотопа ^{59}Fe . В этих целях на поверхность плоских образцов стали, предварительно отожженных в вакууме, методом вакуумного распыления наносили тонкий слой изотопа, рассматриваемый как мгновенный источник. Диффузионный отжиг образцов, попарно сложенных активными сторонами, проводили в высокотемпературной вакуумной печи при остаточном давлении $\sim 10^{-3}$ Па. После отжига для устранения поверхностных эффектов с неактивных сторон образцов снимали слои толщиной, близкой к глубине диффузии, а затем методом послойного радиометрического анализа с измерением интегральной γ -активности остатка определяли распределение радиоизотопа по толщине образца.

Расчет коэффициентов диффузии проводили на основании численного варианта метода интегрального остатка [1] (см. таблицу). Температурная зависимость коэффициентов диффузии в диапазоне температуры 1000—1250° С, рассчитанная на ЭВМ с учетом погрешности эксперимента по методу наименьших квадратов, описывается уравнениями:

$$D = (0,12 \pm 0,10) \exp \left(-\frac{62300 \pm 1700}{RT} \right), \text{ см}^2/\text{с} \quad (1)$$

для стали 0Х16Н15М3Б;

$$D = (0,012 \pm 0,008) \exp \left(-\frac{57800 \pm 1300}{RT} \right), \text{ см}^2/\text{с} \quad (2)$$

для стали 1Х18Н10Т.

Полученные параметры диффузии железа в этих сталях близки к найденным для сходных по составу сплавов [2].

Коэффициенты диффузии железа в сталях и в сплавах железа, $\text{см}^2/\text{с}$

Температура, °C	D, $\text{см}^2/\text{с}$		
	0Х16Н15М3Б	1Х18Н10Т	Сплавы Fe с 15—20% Ni, 15—20% Cr, 2% Mo [2]
950	—	—	$(1,62 \div 3,07) \cdot 10^{-12}$
1000	$2,26 \cdot 10^{-12}$	$2,27 \cdot 10^{-12}$	$(3,98 \div 6,04) \cdot 10^{-12}$
1050	$2,40 \cdot 10^{-12}$	$2,40 \cdot 10^{-12}$	$6,01 \cdot 10^{-12}$
	$6,01 \cdot 10^{-12}$	$6,78 \cdot 10^{-12}$	$5,77 \cdot 10^{-12}$
1100	$5,77 \cdot 10^{-12}$	$5,49 \cdot 10^{-12}$	$1,37 \cdot 10^{-11}$
	$1,37 \cdot 10^{-11}$	$1,38 \cdot 10^{-11}$	$1,84 \cdot 10^{-11}$
1150	$1,84 \cdot 10^{-11}$	$1,43 \cdot 10^{-11}$	$3,20 \cdot 10^{-11}$
	$3,20 \cdot 10^{-11}$	$3,30 \cdot 10^{-11}$	$2,76 \cdot 10^{-11}$
1200	$5,59 \cdot 10^{-11}$	$5,99 \cdot 10^{-11}$	$5,85 \cdot 10^{-11}$
	$5,85 \cdot 10^{-11}$	$5,01 \cdot 10^{-11}$	$1,40 \cdot 10^{-10}$
1250	$1,40 \cdot 10^{-10}$	$9,41 \cdot 10^{-11}$	$1,61 \cdot 10^{-10}$
	$1,61 \cdot 10^{-10}$	$1,09 \cdot 10^{-10}$	$(4,33 \div 4,95) \cdot 10^{-10}$